

# Modelowanie cienkich, izotropowych, wielokątnych płyt metodą makroelementów

Modeling of thin isotropic polygonal plates  
using macroelement method

Justyna Sobczak-Piąstka<sup>1</sup>    Krystian Rosiński<sup>2</sup>  
Mykhaylo Delyavskyy<sup>3</sup>    Nina Zdolbitska<sup>3</sup>

<sup>1</sup>Politechnika Bydgoska  
Wydział Budownictwa, Architektury i Inżynierii Środowiska

<sup>2</sup>PUH LEM-BUD Sp. z o.o.

<sup>3</sup>Lutsk National Technical University

# Plan prezentacji

- 1 Wprowadzenie
- 2 Model matematyczny płyty
- 3 Model obliczeniowy płyty
- 4 Model geometryczny płyty
  - Węzły brzegowe
  - Węzły powierzchniowe
- 5 Rezultaty
  - Płyta trójkątna
  - Płyta równoległoboczna
  - Płyta trapezowa
  - Płyta sześciokątna
- 6 Wnioski

## Cel

- Rozwój uniwersalnej i łatwej w użyciu analityczno-numerycznej metody modelowania i rozwiązywania zagadnienia zginania płyt o dowolnym<sup>1</sup> kształcie
- Opracowanie sposobu automatycznego rozmieszczenia określonej liczby węzłów brzegowych i powierzchniowych
- Analiza wpływu rozmieszczenia węzłów<sup>2</sup> na dokładność wyników

---

<sup>1</sup>Dowolny kontur można aproksymować linią łamaną zamkniętą

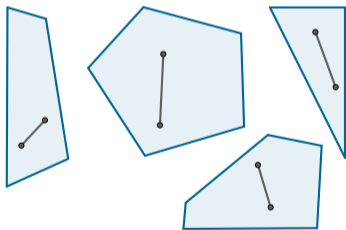
<sup>2</sup>Rozkład równomierny i chmura losowych punktów

## Publikacje dot. metody makroelementów

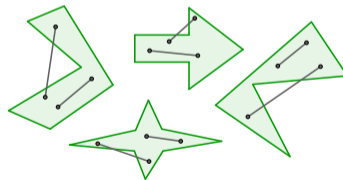
- [1] Mykhaylo Delyavskyy, Justyna Sobczak-Piąstka, Krystian Rosinski, Dariusz Buchaniec i Yuriy Famulyak. „Solution of thin rectangular plates with various boundary conditions”. W: *AIP Conference Proceedings* 2949.1 (sierp. 2023), s. 020023. ISSN: 0094-243X. DOI: 10.1063/5.0165300. URL: <https://doi.org/10.1063/5.0165300>.
- [2] Krystian Rosiński. „Modelowanie cienkościennych układów płytowych w ujęciu makroelementowym”. Rozprawa doktorska. Politechnika Bydgoska, 2021. URL: <https://dlibra.pbs.edu.pl/dlibra/publication/3860/edition/3794>.
- [3] Mykhaylo Delyavskyy i Krystian Rosiński. „The New Approach to Analysis of Thin Isotropic Symmetrical Plates”. W: *Applied Sciences* 10.17 (2020). ISSN: 2076-3417. DOI: 10.3390/app10175931. URL: <https://www.mdpi.com/2076-3417/10/17/5931>.

## Założenia i przeznaczenie metody

- Płyty cienkie, izotropowe
- Klasyczna teoria płyt (Kirchhoffa)
- Płyty wielokątne (o kształtach wypukłych)



(a) Wypukłe



(b) Wklęsłe

Rysunek: Przykłady wielokątów

## Twierdzenie

Wielokąt jest **wklęsły**, jeżeli co najmniej jeden z jego kątów ma miarę większą od  $180^\circ$ . Wielokąt, który nie jest wklęsły, to wielokąt **wypukły**.

## Definicja

Jeżeli odcinek łączący dwa dowolne punkty w wielokącie jest całkowicie w nim zawarty, to taki wielokąt nazywamy **wypukłym**.

## Rozwiązanie równania podstawowego

Stan równowagi cienkiej płyty izotropowej opisuje równanie różniczkowe cząstkowe czwartego rzędu

$$\nabla^2 \nabla^2 w = \frac{q}{D} \quad (1)$$

gdzie:

- $w(x_1, x_2)$  – funkcja ugięcia płyty
- $q(x_1, x_2)$  – rozkład obciążenia na powierzchni górnej płyty
- $D$  – sztywność płyty na zginanie

## Rozwiązanie równania podstawowego

Weźmy wyrażenie na ugięcie płyty w postaci:

$$w = w_o + w_* \quad (2)$$

gdzie:

- $w_o$  – całka ogólna równania jednorodnego  $\nabla^2 \nabla^2 w = 0$
- $w_*$  – całka szczególna równania niejednorodnego (1)

### Uwaga

Rozwiązania  $w_o$  i  $w_*$  są niezależne, co pozwala z zadaną dokładnością spełnić warunki brzegowe i powierzchniowe.



## Całka ogólna

Całka ogólna ma postać:

$$w_o(x_1, x_2) = R_{kpsv} \cdot W_{kpsv}(x_1, x_2) \quad (3)$$

gdzie:

- $R_{kpsv}$  – dowolne współczynniki (stopnie swobody płyty)
- $W_{kpsv}(x_1, x_2)$  – funkcje kształtu ugięcia płyty
- $k = 1, \dots, K, \quad p = 1, \dots, 4, \quad s = 1, 2, \quad v = 1, \dots, 4$

## Całka ogólna

Funkcje kształtu ugięcia płyty mają postać:

$$W_{kpsv}(x_1, x_2) = B_{kpsv}(x_s) \cdot T_{kp(3-s)}(x_{3-s}) \quad (4)$$

gdzie:

- $B_{kpsv}(x_s)$  – funkcje bazowe modelu
- $T_{kps}(x_s)$  – funkcje trygonometryczne

## Całka ogólna

$$B_{kpsv} = \begin{cases} \cosh(\kappa_{kp(3-s)} x_s), & v = 1 \\ \frac{x_s}{a_s} \sinh(\kappa_{kp(3-s)} x_s), & v = 2 \\ \sinh(\kappa_{kp(3-s)} x_s), & v = 3 \\ \frac{x_s}{a_s} \cosh(\kappa_{kp(3-s)} x_s), & v = 4 \end{cases} \quad (5)$$

$$T_{kps} = \begin{cases} \cos(\kappa_{kps} x_s), & p = 1, 2 \\ \sin(\kappa_{kps} x_s), & p = 3, 4 \end{cases}$$

$$\kappa_{kps} = \begin{cases} \gamma_{ks} = k\pi/a_s, & p = 1, 3 \\ \delta_{ks} = (2k-1)\pi/2a_s, & p = 2, 4 \end{cases}$$

## Całka szczególna

Ponieważ w modelu matematycznym stosuje się tylko funkcje ciągłe,  $n$ -krotnie różniczkowalne, to dowolne obciążenie zewnętrzne  $q(x_1, x_2)$  (ciągłe, dyskretne, skupione), aproksymujemy ciągłą funkcją obciążenia w postaci wielomianu tensorowego:

$$Q(x_1, x_2) = A_0 + A_{mps} \cdot T_{mps}(x_s) + B_{mnpq} \cdot T_{mnpq}(x_1, x_2) \quad (6)$$

gdzie:

- $T_{mps}(x_s)$  – pojedyncze funkcje trygonometryczne
- $T_{mnpq}(x_1, x_2) = T_{mp1}(x_1) \cdot T_{nq2}(x_2)$  – podwójne funkcje trygonometryczne
- $m = 1, \dots, M, n = 1, \dots, N, p = 1, \dots, 4, q = 1, \dots, 4, s = 1, 2$

## Całka szczególna

Nieznane współczynniki  $A_0$ ,  $A_{mps}$ ,  $B_{mnpq}$  określamy z warunków spełnianych w oddzielnych punktach  $(x_1^*, x_2^*)$  na powierzchni:

$$Q(x_1, x_2) \Big|_{\substack{x_1=x_1^* \\ x_2=x_2^*}} = q(x_1^*, x_2^*) \quad (7)$$

Podobnie do (6) weźmy całkę szczególną r-nia (1):

$$w_*(x_1, x_2) = A_0^* \cdot \Psi(x_1, x_2) + A_{mps}^* \cdot T_{mps}(x_s) + B_{mnpq}^* \cdot T_{mnpq}(x_1, x_2), \quad (8)$$

gdzie  $\Psi(x_1, x_2)$  to wielomian algebraiczny czwartego stopnia:

$$\Psi(x_1, x_2) = \frac{x_1^4}{24a_1^4} + \frac{x_1^2 x_2^2}{4a_1^2 a_2^2} + \frac{x_2^4}{24a_2^4} \quad (9)$$

## Ugięcie płyty

Wyrażenie na ugięcie płyty:

$$w(x_1, x_2) = R_{kpsv} \cdot W_{kpsv}(x_1, x_2) + W_*(x_1, x_2) \quad (10)$$

gdzie:

- $R_{kpsv}$  – stopnie swobody płyty
- $W_{kpsv}(x_1, x_2)$  – funkcje kształtu ugięcia płyty
- $W_*(x_1, x_2)$  – funkcje obciążenia ugięcia płyty

## Funkcje stanu

Niech  $F$  oznacza jedną z funkcji

$$F = (w, \varphi_1, \varphi_2, \varphi_n, M_{11}, M_{22}, M_n, M_{12}, Q_1, Q_2, V_1, V_2). \quad (11)$$

Dowolną funkcję stanu możemy podać w postaci

$$F(x_1, x_2) = R_{kpsv} \cdot F_{kpsv}(x_1, x_2) + F_*(x_1, x_2) \quad (12)$$

Otrzymujemy ją z wyrażenia  $w(x_1, x_2)$  przy pomocy różniczkowania automatycznego.

## Warunki brzegowe i powierzchniowe

<b>Całka</b>	<b>ogólna</b>	<b>szczególna</b>
Węzły	brzegowe	powierzchniowe
Warunki	równowaga reakcji zewnętrznych w węzłach na brzegu płyty	równowaga reakcji wewnętrznych i obciążenia przyłożonego w węzłach na powierzchni płyty



## Warunki brzegowe i powierzchniowe

Wyrażenie  $F(x_1, x_2)$  zawiera dwa zbiory dowolnych współczynników, które pozwalają na spełnienie warunków brzegowych i powierzchniowych zadaną dokładnością.

Ponieważ wyrażenie  $Q(x_1, x_2)$  jest dokładnym rozwiązaniem równania równowagi (1), siły wewnętrzne i przemieszczenia wewnątrz płyty są zrównoważone obciążeniem zewnętrznym. Warunki te spełniamy na powierzchni płyty w punktach zwanych *węzłami powierzchniowymi*. Stąd określamy całkę szczególną równania (1).

## Warunki brzegowe i powierzchniowe

Ale wielkości na krawędziach są niezrównoważone, ponieważ wyrażenie całki ogólnej zawiera stopnie swobody płyty  $R_{kpsv}$ . W celu ustabilizowania płyty nakładamy pewne ograniczenia w postaci warunków brzegowych w oddzielnych punktach na konturze płyty. Punkty te nazywamy *węzłami brzegowymi*. Każdemu warunkowi brzegowemu odpowiada jeden parametr  $R_{kpsv}$ .

## Rozwiązanie

Ostateczne rozwiązanie uzyskuje się z algebraicznego układu równań typu  $\mathbf{AR} = -\mathbf{b}$  względem nieznanych współczynników  $R_{kpsv}$ . Rozwiązując układu równań eliminujemy stopnie swobody płyty. Następnie obliczamy wymagane statyczne i kinematyczne wielkości i drukujemy wyniki, zwykle w formie wykresów (2D lub 3D).

Model obliczeniowy zaimplementowano w języku programowania Python. Kod źródłowy programu dostępny jest w repozytorium:

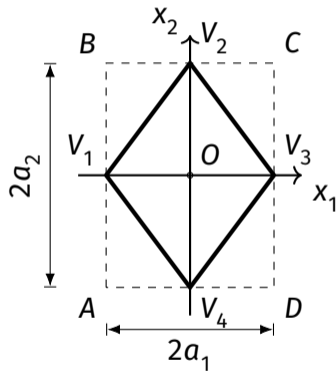
[https://github.com/krysros/mcr\\_2024](https://github.com/krysros/mcr_2024)

## Model geometryczny

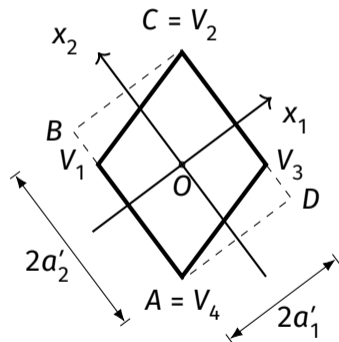
Geometrię płyty określają współrzędne kolejnych wierzchołków  $V_i$  wielokąta odpowiadającego konturowi płyty.

*Model geometryczny* to konfiguracja węzłów stacjonarnych, brzegowych i powierzchniowych wybrana tak, aby jak najdokładniej odzwierciedlała rzeczywistą konstrukcję, tj. kształt płyty, warunki brzegowe, przyłożone do płyty obciążenia i deformację płyty wywołaną ich wpływem.

## Model geometryczny



(a)



(b)

Rysunek: Prostokąt ograniczający płytę: (a) koperta i (b) prostokąt minimalny

## Węzły brzegowe

Przy zadanej z góry liczbie  $K$  aproksymacji rozwiązania problemu, ogólna liczba stopni swobody płyty wynosi:

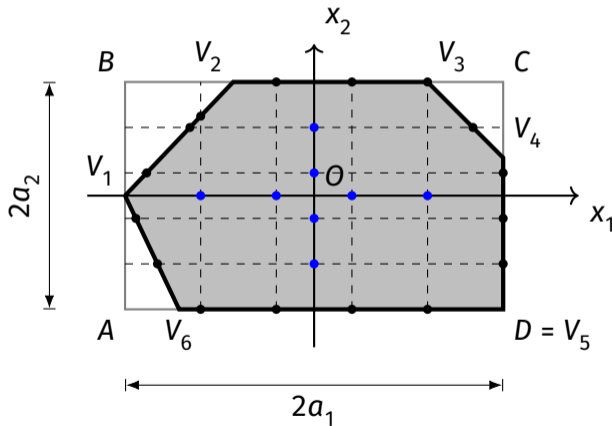
$$n = K \cdot p_{\max} \cdot s_{\max} \cdot v_{\max} = K \cdot 4 \cdot 2 \cdot 4 \quad (13)$$

Na brzegu płyty należy więc nałożyć  $n = 32 K$  więzów.

Ponieważ w każdym węźle zapisujemy dwa warunki brzegowe, to liczba węzłów brzegowych musi być równa  $i = n/2$ .

Węzły brzegowe rozmieszczamy na brzegu płyty rzeczywistej.

## Węzły brzegowe



**Rysunek:** Określenie liczby węzłów brzegowych (rzutowanie punktów wyjściowych)

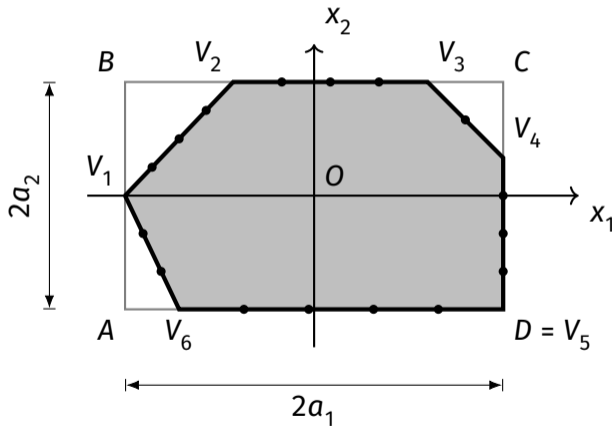
# Węzły brzegowe

**Tabela:** Liczba węzłów brzegowych na krawędziach płyty

Nr	Krawędź	Liczba węzłów
1	$V_1-V_2$	3
2	$V_2-V_3$	3
3	$V_3-V_4$	1
4	$V_4-V_5$	3
5	$V_5-V_6$	4
6	$V_6-V_1$	2



## Węzły brzegowe



Rysunek: Równomierny rozkład określonej liczby węzłów na krawędziach

## Węzły powierzchniowe

Liczba węzłów powierzchniowych musi być równa liczbie nieznanych parametrów wchodzących do wyrażenia całki szczególnej (8):

$$j = 1 + 4 \cdot M + 4 \cdot N + 16 \cdot M \cdot N \quad (14)$$

Dla

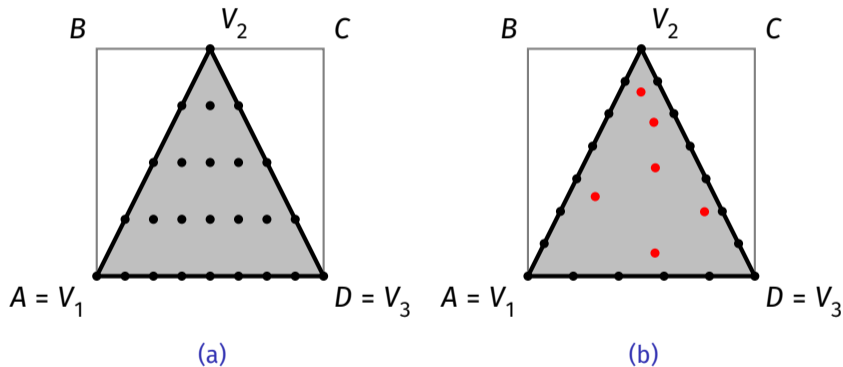
$$M = N = 1; \quad j = 1 + 4 + 4 + 16 = 25$$

$$M = N = 2; \quad j = 1 + 8 + 8 + 64 = 81$$

itd.

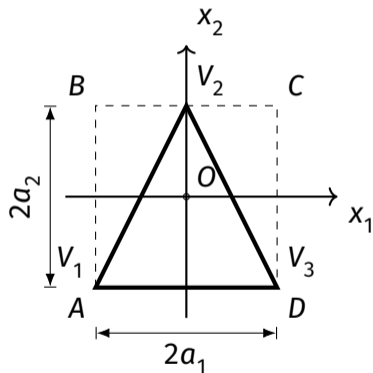
Węzły powierzchniowe rozmieszczamy na powierzchni płyty rzeczywistej.

## Węzły powierzchniowe

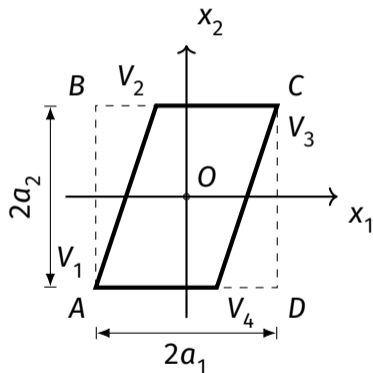


**Rysunek:** Równomierny (a) i losowy (b) rozkład węzłów powierzchniowych płyty trójkątnej dla  $K = 1$  i  $M = N = 1$

# Przykłady



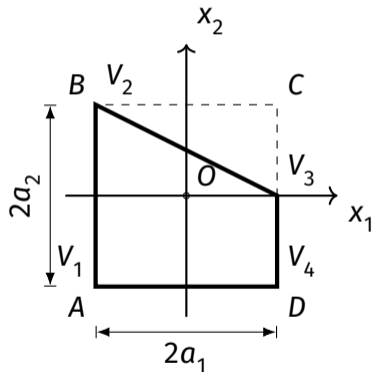
(a)



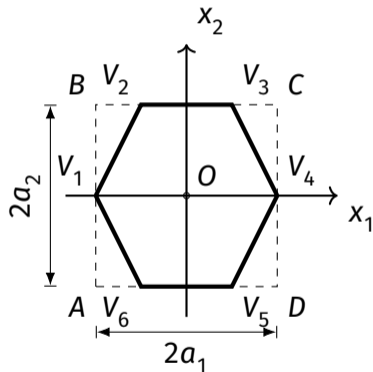
(b)

Rysunek: Przykłady makroelementów: (a) płyta trójkątna, (b) płyta równoległoboczna

# Przykłady



(a)



(b)

Rysunek: Przykłady makroelementów: (a) płyta trapezowa, (b) płyta sześciokątna

## Przykłady

Parametry geometryczne:

$$a_1 = 3 \text{ m}, \quad a_2 = 3 \text{ m}, \quad h = 0.2 \text{ m}$$

Stałe sprężyste:

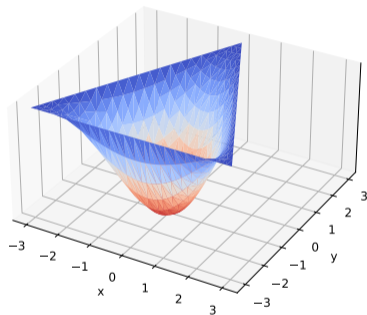
$$E = 30 \times 10^9 \text{ Pa}, \quad \nu = 0.2$$

Intensywność obciążenia:

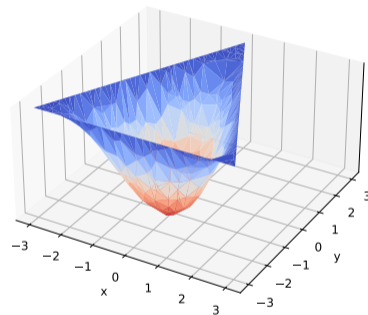
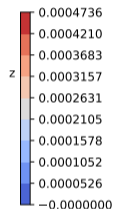
$$q_0 = 10 \text{ kPa}$$

Warunki brzegowe: płyty swobodnie podparte

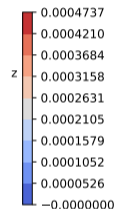
# Płyta trójkątna



(a)



(b)



**Rysunek:** Wykres 3D ugięcia płyty trójkątnej (a) dla równomiernego i (b) losowego rozkładu węzłów powierzchniowych

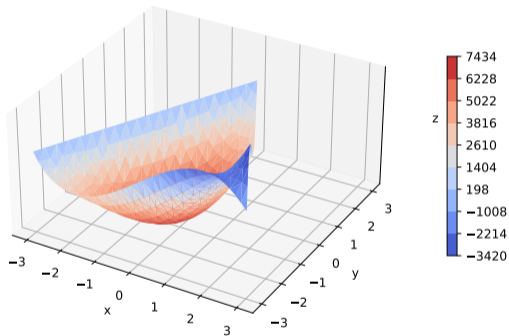
# Porównanie wyników

**Tabela:** Minimalne i maksymalne wartości kinematycznych i statycznych wielkości wraz z ich błędem względnym (RE) dla swobodnie podpartej płyty trójkątnej z równomiernym i losowym rozkładem węzłów powierzchniowych

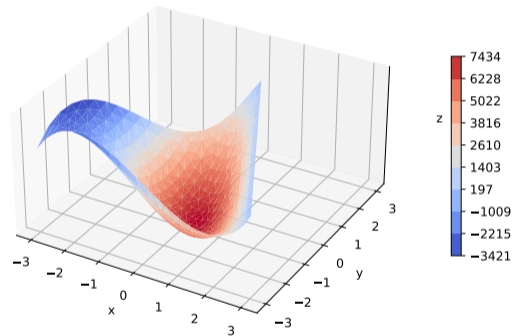
Fun.	Jend.	Równomierny		Losowy		RE	
		Min	Max	Min	Max	Min	Max
$w$	m	0	0.000 473 6	0	0.000 473 7	0 %	0.01 %
$\varphi_1$	rad	-0.000 389	0.000 389	-0.000 390	0.000 390	0.08 %	0.08 %
$\varphi_2$	rad	-0.000 206	0.000 424	-0.000 208	0.000 423	0.57 %	0.22 %
$M_{11}$	N m/m	-2850.40	8006.10	-2872.85	7973.67	0.79 %	0.41 %
$M_{22}$	N m/m	-2535.65	7019.75	-2538.61	7001.34	0.12 %	0.26 %
$M_{12}$	N m/m	-3583.30	3584.22	-3579.05	3579.76	0.12 %	0.12 %
$Q_1$	N m <sup>-1</sup>	-12 499.10	12 495.14	-12 508.10	12 504.25	0.07 %	0.07 %
$Q_2$	N m <sup>-1</sup>	-6252.21	13 803.93	-6257.24	13 789.06	0.08 %	0.11 %
$V_1$	N m <sup>-1</sup>	-14 982.12	14 976.67	-14 989.79	14 983.69	0.05 %	0.05 %
$V_2$	N m <sup>-1</sup>	-9220.07	16 746.01	-9220.07	16 722.39	0 %	0.14 %



# Płyta trójkątna



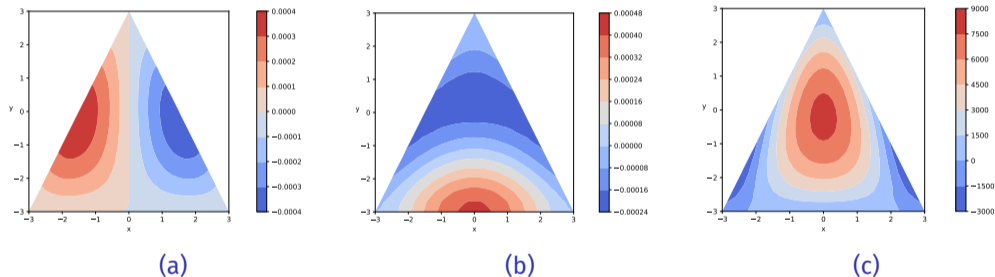
(a)



(b)

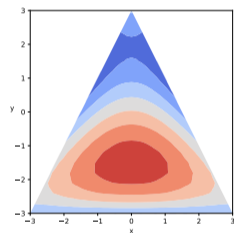
Rysunek: Wykres 3D momentu  $M_n$  płyty trójkątnej (a)  $\alpha = 153^\circ$  i (b)  $\alpha = 27^\circ$

# Płyta trójkątna

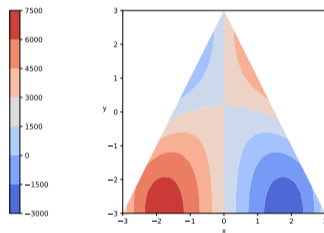


**Rysunek:** Wykresy 2D kątów obrotu (a)  $\phi_1$ , (b)  $\phi_2$  i momentów zginających (c)  $M_{11}$  płyty trójkątnej

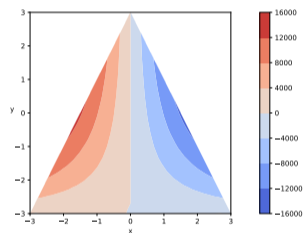
# Płyta trójkątna



(a)



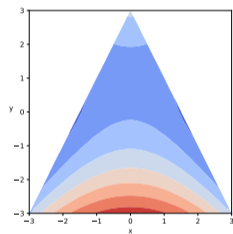
(b)



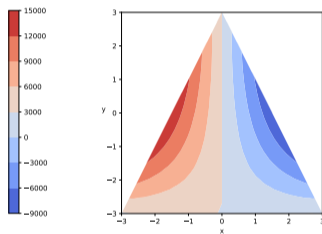
(c)

**Rysunek:** Wykresy 2D momentów zginających (a)  $M_{22}$ , momentów skręcających (b)  $M_{12}$  i sił tnących (c)  $Q_1$  płyty trójkątnej

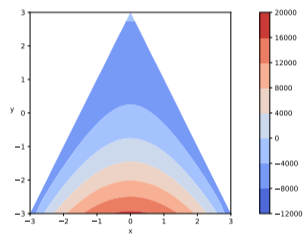
# Płyta trójkątna



(a)



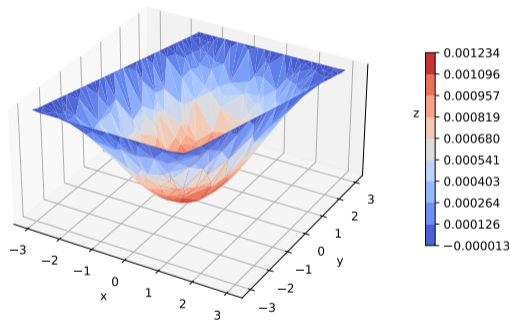
(b)



(c)

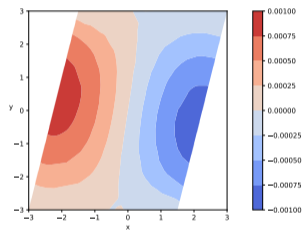
**Rysunek:** Wykresy 2D sił tnących (a)  $Q_2$  i uogólnionych sił tnących (b)  $V_1$ , (c)  $V_2$  płyty trójkątnej

# Płyta równoległoboczna

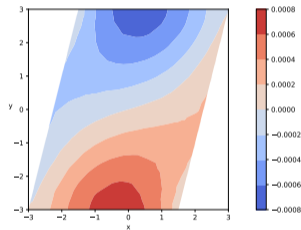


**Rysunek:** Wykres 3D ugięcia płyty równoległobocznej dla losowego rozkładu węzłów powierzchniowych

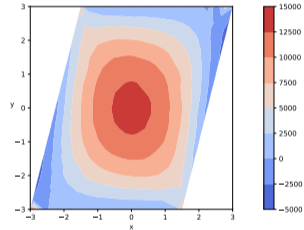
# Płyta równoległoboczna



(a)



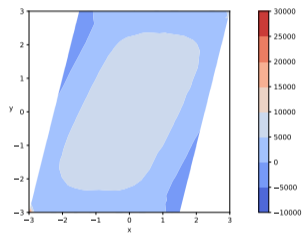
(b)



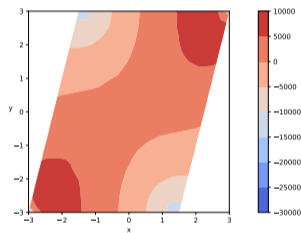
(c)

**Rysunek:** Wykresy 2D kątów obrotu (a)  $\phi_1$ , (b)  $\phi_2$  i momentów zginających (c)  $M_{11}$  płyty równoległobocznej

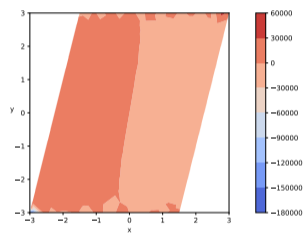
# Płyta równoległoboczna



(a)



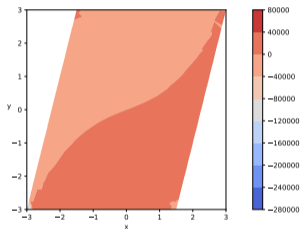
(b)



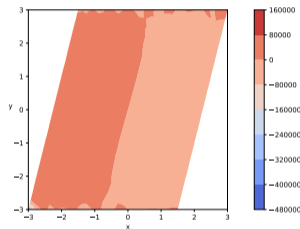
(c)

**Rysunek:** Wykresy 2D momentów zginających (a)  $M_{22}$ , momentów skręcających (b)  $M_{12}$  i sił tnących (c)  $Q_1$  płyty równoległobocznej

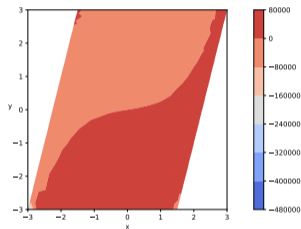
# Płyta równoległoboczna



(a)



(b)

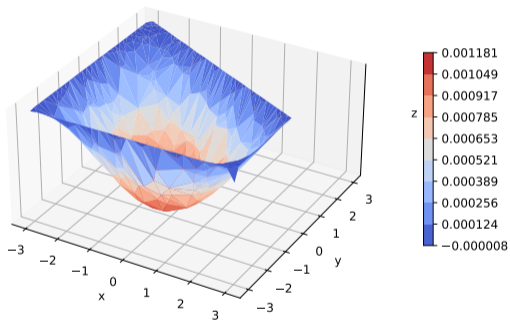


(c)

**Rysunek:** Wykresy 2D sił tnących (a)  $Q_2$  i uogólnionych sił tnących (b)  $V_1$ , (c)  $V_2$  płyty równoległobocznej

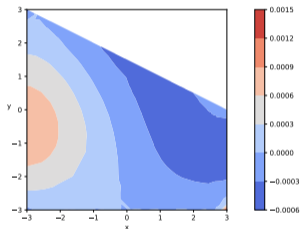


# Płyta trapezowa

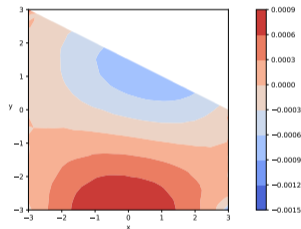


**Rysunek:** Wykres 3D ugięcia płyty trapezowej dla losowego rozkładu węzłów powierzchniowych

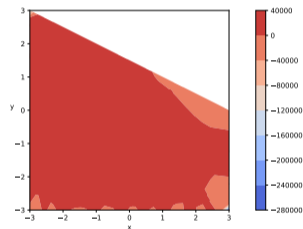
# Płyta trapezowa



(a)



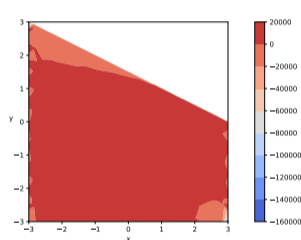
(b)



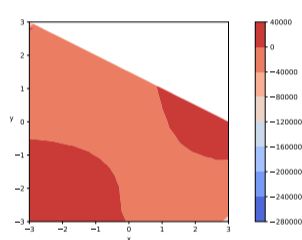
(c)

**Rysunek:** Wykresy 2D kątów obrotu (a)  $\phi_1$ , (b)  $\phi_2$  i momentów zginających (c)  $M_{11}$  płyty trapezowej

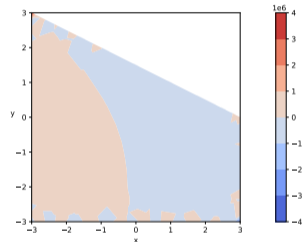
# Płyta trapezowa



(a)



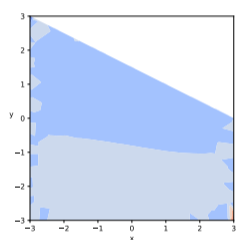
(b)



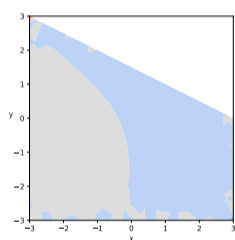
(c)

**Rysunek:** Wykresy 2D momentów zginających (a)  $M_{22}$ , momentów skręcających (b)  $M_{12}$  i sił tnących (c)  $Q_1$  płyty trapezowej

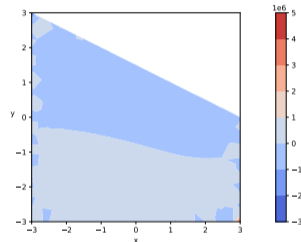
# Płyta trapezowa



(a)



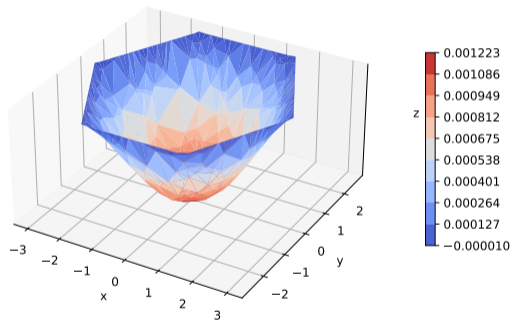
(b)



(c)

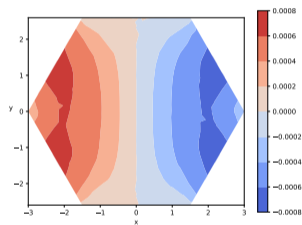
**Rysunek:** Wykresy 2D sił tnących (a)  $Q_2$  i uogólnionych sił tnących (b)  $V_1$ , (c)  $V_2$  płyty trapezowej

# Płyta sześciokątna

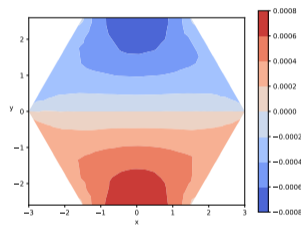


**Rysunek:** Wykres 3D ugięcia płyty sześciokątnej dla losowego rozkładu węzłów powierzchniowych

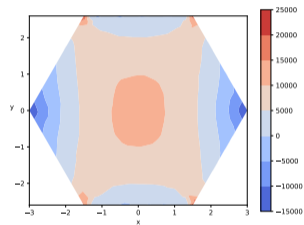
# Płyta sześciokątna



(a)



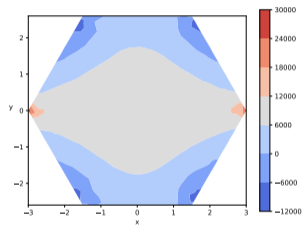
(b)



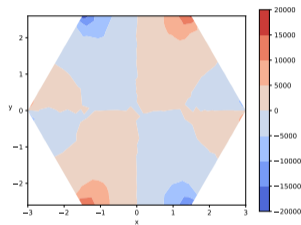
(c)

**Rysunek:** Wykresy 2D kątów obrotu (a)  $\phi_1$ , (b)  $\phi_2$  i momentów zginających (c)  $M_{11}$  płyty sześciokątnej

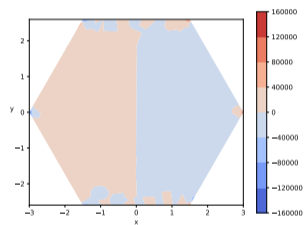
# Płyta sześciokątna



(a)



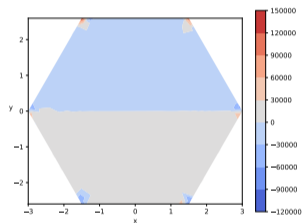
(b)



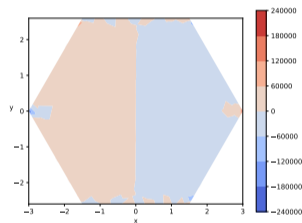
(c)

**Rysunek:** Wykresy 2D momentów zginających (a)  $M_{22}$ , momentów skręcających (b)  $M_{12}$  i sił tnących (c)  $Q_1$  płyty sześciokątnej

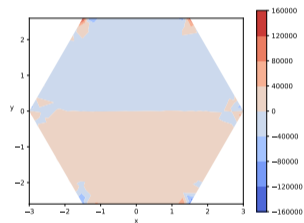
# Płyta sześciokątna



(a)



(b)



(c)

**Rysunek:** Wykresy 2D sił tnących (a)  $Q_2$  i uogólnionych sił tnących (b)  $V_1$ , (c)  $V_2$  płyty sześciokątnej



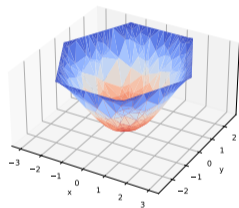
## Wnioski

- Opracowana metoda pozwala rozwiązywać zagadnienie zginania cienkich, izotropowych płyt wielokątnych
- Metoda jest uniwersalna, tzn. pozwala na rozwiązanie konstrukcji płytowych o różnych konfiguracjach
- Metoda jest automatyczna, tzn. pozwala uzyskać komplet wyników wyłącznie przez zmianę parametrów wejściowych
- Warunki brzegowe są spełnione z wysoką dokładnością w oddzielnych węzłach brzegowych

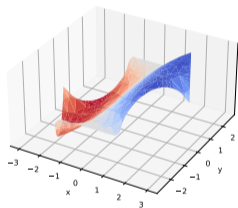
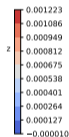
## Problemy

- W narożnikach (zwłaszcza gdy płyta zawiera kąty rozwarte) pojawiają się znane problemy związane z występowaniem osobliwości w tych punktach
- Problemy te objawiają się skokami wartości w narożnikach i/lub w ich pobliżu
- Obserwujemy zależność pomiędzy rzędem pochodnej ugięcia, która wchodzi do wyrażenia poszukiwanej wielkości
- Im wyższa pochodna ugięcia, tym większe skoki wartości w okolicach narożników

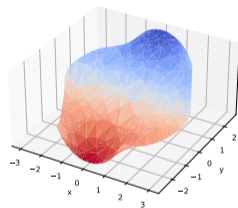
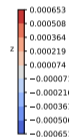
# Płyta sześciokątna



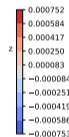
(a)



(b)

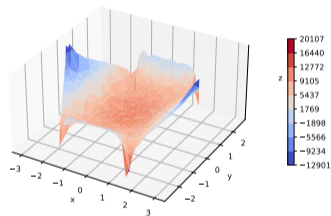


(c)

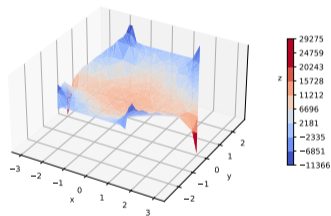


Rysunek: Wykresy 3D ugięcia (a) i kątów obrotu (b)  $\phi_1$ , (c)  $\phi_2$  płyty sześciokątnej

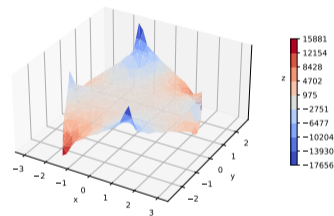
# Płyta sześciokątna



(a)



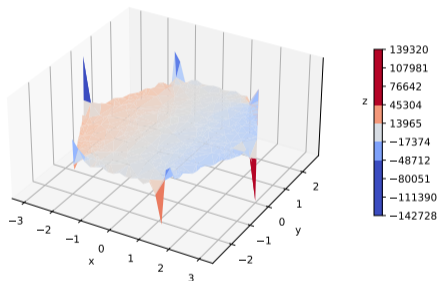
(b)



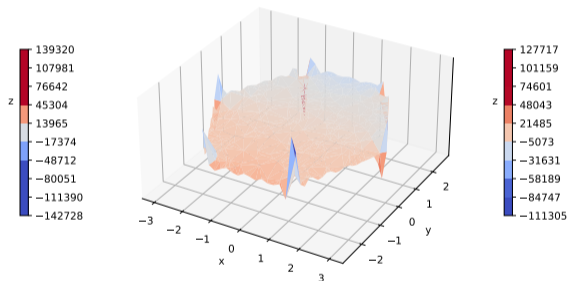
(c)

**Rysunek:** Wykresy 3D momentów zginających (a)  $M_{11}$  (b)  $M_{22}$  i skręcających (c)  $M_{12}$  płyty sześciokątnej

# Płyta sześciokątna



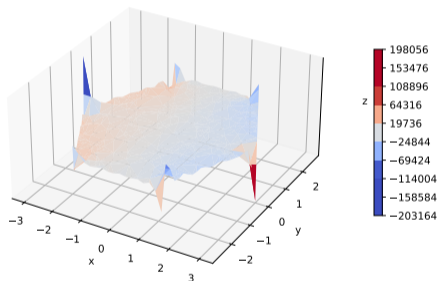
(a)



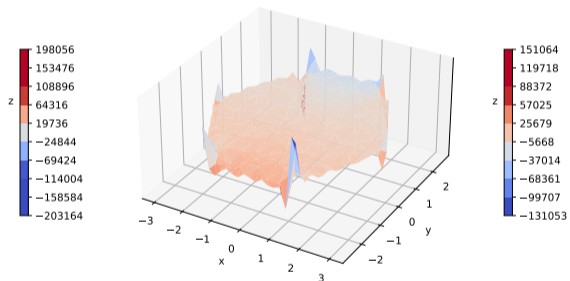
(b)

Rysunek: Wykresy 3D sił tnących (a)  $Q_1$ , (b)  $Q_2$  płyty sześciokątnej

# Płyta sześciokątna



(a)



(b)

**Rysunek:** Wykresy 3D uogólnionych sił tnących (a)  $V_1$ , (b)  $V_2$  płyty sześciokątnej

## Kierunki dalszego rozwoju metody

- Wyeliminowanie osobliwości w narożnikach
- Opracowanie/wdrożenie metody równomiernego rozmieszczenia węzłów np. algorytm Lloyda
- Zastosowanie do płyt o kształtach wielokątów wklęsłych (wymaga wprowadzenia pewnych modyfikacji w rozkładzie węzłów)

Dziękuję za uwagę